## ENVIRONMENTAL SCIENCE

第44卷 第4期 2023年4月15日

## 目 次

气候变化对中国夏季臭氧影响····································	1)
生光工业城市夏季大气臭氧生成机制及减排策略	1) 1) 0)
2000~2020年中国典型经济区 PM <sub>2.5</sub> 时空变化及其与植被景观格局的关系	1)
「「長変化对中国夏季臭氧影响 胡安琪、谢晓栋、龚康佳、侯字晖、胡建林(180基于 EOF 分解和 KZ 滤波的 2019~2021 年中国臭氧时空变化及驱动因素分析  生北工业城市夏季大气臭氧生成机制及减排策略 光線森、窦建平、张国涛、李丽明、徐勃、杨文、白志鹏(182 2015~2020 年中国城市 PM₂, 5-03 复合污染时空演变特征 牛茱萸、钟艳梅、杨璐、易嘉慧、慕航、吴倩、洪松、何超(183 2015~2021 年京津冀及周边地区 PM₂, 5和臭氧复合污染时空特征分析、农小涵、燕丽、刘伟、贺晋瑜、王亚晨、黄同林、李园园、陈敏、孟静静、侯战方(184 2000~2020 年中国典型经济区 PM₂, 5时空变化及其与植被景观格局的关系 徐勇、李欣怡、黄雯婷、郭振东、盘钰春、郑志威、戴强玉(185 北京市核心区冬春季大气离子沉降量特征及来源解析 赵宇、李贝贝、黄玉虎、梁静、杨洪玲、秦建平、朱玲(186 南京近郊农田大气颗粒物及金属干沉降输入特征 刘翠英、新浩、樊建凌(187 西安冬季 PM、中不同极性水溶性有机物的污染特征及氧化潜势 罗玉、黄沙沙、张甜、孙健、沈振兴(188 机动车源和民用燃料源颗粒物中有机碳和元素碳的排放特征 野玉、刘思晗、孙杰娟、刘焕武、赵天良、裴宇儇、可玥、武自豪、刘诗云(189 基于高空间分辨网格的郑州市城镇居民 PM₂, 暴露浓度与健康风险变化评估 李媛、徐芳、马超、伊布提哈尔・加帕尔、郭丽瑶、李新琪、杨文(189 基于多源数据融合的河南省建材行业排放清单 李媛、徐艺斐、袁明浩、苏方成、王申博、王克、张瑞芹(191 基于多源数据融合的河南省建材行业排放清单 李媛、徐艺斐、袁明浩、苏方成、王申博、王克、张瑞芹(191 上多源数据融合的河南省建材行业排放清单 李媛、徐艺斐、袁明浩、苏方成、王申博、王克、张瑞芹(191 上多源数据融合的河南省建材行业排放清单 李媛、徐艺斐、袁明浩、苏方成、王申博、王克、张瑞芹(191 本于多源数据融合的河南省建材行业排放清单 李媛、徐艺斐、袁明浩、苏方成、王申博、王克、张瑞芹(191 本于多源数据融合的河南省建材行业排放清单 李媛、徐艺斐、袁明浩、苏方成、王申博、王克、张瑞芹(191 本于多源数据融合的河南省建材行业排放清单 刘晓,明京南、王红梅、杨丽、张皓(192 张明市城区冬季大气挥发性有机物污染特征及来源解析	2) 5) 3) 2)
世型河谷核心区春季 PM。组分特征及来源解析 ····································	9)
基于多源数据融合的河南省建材行业排放清单	4)
开封市城区冬季大气挥发性有机物污染特征及来源解析	3) 4) 2) 4) 5) 8) (2) (2)
典型湖泊有机聚集体时空特征及驱动因子 谢贵娟,龚伊,朱富成,刘昌利,卢宝伟,邓辉,汤祥明(205 桂林市不同功能型公园水体微塑料的分布特征及风险评估 李沛钊,吴莉,黄菲菲,林才霞,舒小华,张倩(206 长江流域浮游植物群落的环境驱动及生态评价 张静,胡念炘,胡圣,黄杰(207 环境异质性对三峡库区支流香溪河附石硅藻群落的影响及驱动作用 《路璐、赵璐、欧阳添、杨宋琪、郑保海、杜丽欣、李玉鑫、李佳欣、施军琼、吴忠兴(208	2) (2) (2) (3)
武汉市 3 种类型湖泊浮游植物群落特点及关键影响因子 	3) 3)
环境异质性对三峡库区支流香溪河附石硅藻群落的影响及驱动作用	2) 6) 7) 8) 8)
基于蒙特卡罗模拟的铅锌冶炼厂周边农田土壤重金属健康风险评估 ————————————————————————————————————	(2) (4) (5) (3)
典型黑巴石系地质尚育京区工壤和农产品里金属苗果特征与万架风险	4)
在浴区个问时质土壤 Cd 地球化学特征及生木科头 Cd 含 重顶侧	(3) (2) (5) (5) (3)



# 基于蒙特卡罗模拟的铅锌冶炼厂周边农田土壤重金属 健康风险评估

黄剑波<sup>1,2</sup>, 姜登登<sup>1,2</sup>, 温冰<sup>1,2</sup>, 王磊<sup>1,2</sup>, 石佳奇<sup>1,2</sup>, 周艳<sup>1,2</sup>\*

(1. 生态环境部南京环境科学研究所,南京 210042;2. 国家环境保护土壤环境管理与污染控制重点实验室,南京 210042)摘要:为探明铅锌冶炼厂周边土壤重金属污染程度及人体健康风险,在云南省某铅锌冶炼厂周边农田采集 56 个表层土壤(0~20 cm),分析了土壤中 pH 和重金属 Pb、Cd、Zn、As、Cu 和 Hg 的含量,对土壤重金属含量的污染程度、生态风险和概率健康风险进行了研究. 结果表明,研究区土壤中 $\omega(Pb)$ 、 $\omega(Cd)$ 、 $\omega(Zn)$ 、 $\omega(As)$ 、 $\omega(Cu)$  和 $\omega(Hg)$  的平均值分别为4 413. 93、6. 89、1 672. 76、44. 45、47. 61 和 0. 21 mg·kg $^{-1}$ ,均超过云南省土壤背景值. Cd 的地累积指数( $I_{\rm geo}$ ) 平均值为 0. 24,单因子污染指数( $P_i$ ) 平均值为 30. 42,潜在生态风险指数( $E_r$ ) 平均值为1 312. 60,是研究区污染最重以及生态风险最高的重金属. 蒙特卡罗概率健康风险结果显示,成人和儿童的非致癌风险指数(HI)分别为 2. 42E -01 和 9. 36E -01,儿童的非致癌风险超过控制值的比例为 36. 63%;成人和儿童的致癌风险指数(TCR)分别为 6. 98E -05 和 5. 93E -04,儿童的致癌风险超过控制值的比例为 86. 85%;Cd 和 As 是造成致癌风险和非致癌风险的主要因素. 研究结果可为该区域实现精准风险管控和修复措施提供科学依据.

关键词:铅锌冶炼;农田土壤;重金属污染;生态风险;概率健康风险中图分类号: X53 文献标识码: A 文章编号: 0250-3301(2023)04-2204-11 **DOI**: 10.13227/j. hjkx. 202205055

# Contamination and Probabilistic Health Risk Assessment of Heavy Metals in Agricultural Soils Around a Lead-Zinc Smelter

HUANG Jian-bo<sup>1,2</sup>, JIANG Deng-deng<sup>1,2</sup>, WEN Bing<sup>1,2</sup>, WANG Lei<sup>1,2</sup>, SHI Jia-qi<sup>1,2</sup>, ZHOU Yan<sup>1,2</sup>\*

(1. Nanjing Institute of Environmental Sciences, Ministry of Ecology and Environment, Nanjing 210042, China; 2. State Environmental Protection Key Laboratory of Soil Environmental Management and Pollution Control, Nanjing Institute of Environmental Sciences, Ministry of Ecology and Environment, Nanjing 210042, China)

Abstract: In order to identify the contamination and health risks of heavy metals in agricultural soils, a total of 56 surface soil samples (0-20 cm) were collected around a Pb-Zn smelter in Yunnan Province, and six heavy metals (Pb, Cd, Zn, As, Cu, and Hg) and pH were analyzed to assess heavy metal status, ecological risk, and probabilistic health risk. The results revealed that the average contents of six heavy metals (Pb; 4413.93 mg·kg<sup>-1</sup>, Cd; 6.89 mg·kg<sup>-1</sup>, Zn; 1672.76 mg·kg<sup>-1</sup>, As; 44.45 mg·kg<sup>-1</sup>, Cu; 47.61 mg·kg<sup>-1</sup>, and Hg; 0.21 mg·kg<sup>-1</sup>) were higher than their background values in Yunnan Province. Cd had the highest mean geo-accumulation index ( $I_{geo}$ ) of 0.24, the highest mean pollution index ( $P_i$ ) of 30.42, and the greatest average ecological risk index ( $E_r$ ) of 1312.60, indicating that Cd was the primary enriched and highest-ecological risk pollutant. The mean hazard index (HI) through exposure to six HMs was 2.42E – 01 and 9.36E – 01 for adults and children, respectively, with 36.63% of HI values for children exceeding the risk threshold of 1. Moreover, the mean total cancer risks (TCR) were 6.98E – 05 and 5.93E – 04 for adults and children, respectively, with 86.85% of TCR values for children exceeding the guideline value of 1E-04. The probabilistic health risk assessment suggested that Cd and As were the main contributors for the non-carcinogenic risks and carcinogenic risks. This work will provide scientific reference for the precise risk management and effective remediation strategy of soil heavy metal pollution in this study area.

Key words: lead-zinc smelter; agricultural soil; heavy metal contamination; ecological risk; probabilistic health risk

随着我国工业化和城市化的快速发展,农田土壤重金属污染环境问题日益突出[1],我国农田土壤样品点位超标率为19.4%,其中,有色金属冶炼周边土壤中镉、砷、铅和锌等重金属污染较为严重[2]. 冶炼过程中产生的废渣和粉尘等通过降雨径流和大气沉降等形式进入土壤、地表水和地下水,进而通过食物链对生态环境和人体健康构成严重威励"基"。调查研究表明,中国49个有色金属冶炼厂周边农田土壤中 $\omega(Cd)$ 、 $\omega(Pb)$ 、 $\omega(Zn)$ 和 $\omega(Cu)$ 的平均值分别为19.8、1536、1371和19.8 mg·kg<sup>-1</sup>,均超过了对应的土壤背景值,对周边居民健康风险较高[5]。因此,冶炼厂周边农田土壤重金属污染特征及风险评价一直是研究热点。

目前,用于土壤重金属污染评价的方法主要包括地累积指数法、单因子污染指数法、内梅罗综合污染指数、潜在生态风险指数和健康风险评价<sup>[6,7]</sup>. 采用两种及以上的评价方法可以较为全面地反映土壤污染状况<sup>[8,9]</sup>. 传统的健康风险评价主要关注确定性健康风险,多采用参数的均值或中位值进行风险评估,可能导致过高或者过低估算风险水平<sup>[10,11]</sup>. 此外,由于重金属含量和输入参数不确定性的存在,确定性风险评估很难识别出对风险较高

收稿日期: 2022-05-06; 修订日期: 2022-07-06

基金项目: 国家重点研发计划项目(2018YFC1801100)

作者简介:黄剑波(1988~),男,硕士,助理研究员,主要研究方向为

土壤与地下水调查和评估,E-mail:huangjianbo@nies.org

\* 通信作者, E-mail: zhouyan@ nies. org

的重金属<sup>[12]</sup>. 近年来, 概率风险评估逐渐成为土壤污染风险评价领域的新趋势<sup>[13]</sup>, 而蒙特卡罗模拟 (Monte Carlo)则是最常用的概率风险分析方法<sup>[14]</sup>. 蒙特卡罗模拟在确定暴露参数先验分布下可生成随机数进行迭代计算, 输出以概率分布的形式表达, 最终提供污染超过风险值的概率, 识别出有限控制污染物<sup>[15]</sup>. 已有学者利用蒙特卡罗模拟方法评价了城市公园土壤重金属<sup>[16]</sup>、居民区土壤多环芳烃<sup>[17]</sup>和矿区土壤重金属<sup>[18]</sup>的概率风险. 迄今为止, 国内关于铅锌冶炼厂周边农田土壤重金属的概率健康风险则鲜有报道.

鉴于此,本文选择云南省怒江州兰坪县境内某铅锌冶炼厂周边农田土壤为研究对象,分析其土壤中重金属污染状况,应用地累积指数和污染指数分析土壤重金属污染程度,采用潜在生态风险指数评价土壤生态风险,结合 Monte Carlo 模拟对土壤中重金属健康风险进行概率评估,以期为该区域实现精准风险管控和修复措施提供科学依据,研究结果对保障当地居民人体健康具有重要意义.

#### 1 材料与方法

#### 1.1 研究区概况

研究区域位于兰坪县某铅锌冶炼厂周边农田, 地理坐标为: 东经 99°23′~99°24′, 北纬 26°23′~ 26°25′. 兰坪县位于云南省西北部, 怒江州东部, 境 内矿产资源丰富, 被称为中国的"绿色锌都". 县内 有色金属冶炼厂较多, 冶炼厂周边分布多个村庄, 由 于大气沉降等途径, 金属冶炼活动对周边人群健康 造成极大威胁. 兰坪县属低纬山地季风气候, 地形复 杂,海拔在1 360~4 435. 4 m之间, 相对高差大, 年平 均气温为 13.7℃, 年平均降雨量为1 002. 4 mm, 主 导风向为偏西风, 夏季偏南风. 研究区耕地类型以旱 地为主, 土壤类型以黄棕壤土为主, 主要农作物为 玉米.

#### 1.2 样品采集与测试

在治炼厂周边 2 块农田共布设 56 个土壤点位,采样点分布见图 1. A 农田占地约100 000 m², 距离治炼厂 400 m 左右; B 农田占地约200 000 m², 距离治炼厂 1300 m左右. 考虑到 A 农田距离治炼厂较近,采用 50 m×50 m 网格布点法共布设 35 个采样点,B 农田距离治炼厂较远,采用 100 m×100 m 网格布点法共布设 21 个采样点.每个采样点利用木铲采集 0~20 cm 表层土壤,按四分法弃除多余土壤后保留 1.0 kg 土壤样品,样品装入密封袋运输至实验室.

采集的土壤样品经自然风干后去除根茎、石块

等异物,用玛瑙研钵研磨后过 100 目筛装入自封袋备用. 土壤 pH 参照文献[19]方法测定. 土壤样品经HNO<sub>3</sub>-HF-HClO<sub>4</sub> 法消解后使用电感耦合等离子体质谱(ICP-MS)测定重金属 As、Cd、Cu、Pb 和 Zn 的含量; 另外,称取土壤样品经(1:1)王水消解后采用原子荧光光度计测定 Hg 的含量. 采用 GSS-28 标准物质进行质量控制,回收率为 90%~110% 之间.

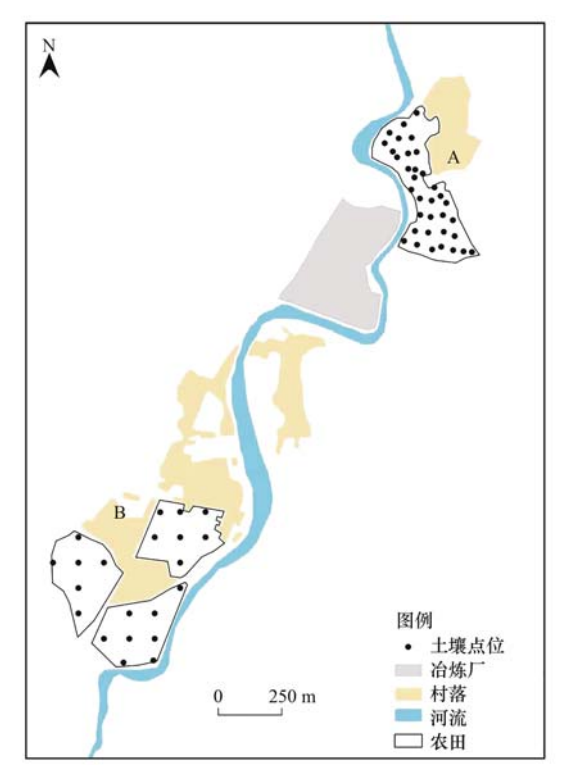


图 1 研究区土壤采样点示意

Fig. 1 Soil sampling sites of the study area

#### 1.3 分析方法

#### 1.3.1 地累积指数法

地累积指数法( $I_{geo}$ )近年来已被广泛应用于评价土壤重金属污染程度 $^{[20]}$ ,其计算公式为:

$$I_{\text{geo}} = \log_2 \left[ C_i / (K \times C_0) \right]$$
 (1)

式中, $I_{geo}$ 为地累积指数; $C_i$  为土壤重金属i 含量, $mg \cdot kg^{-1}$ ; $C_0$  为评价标准,采用云南省土壤背景值算术平均值;K 为修正系数,取值  $1.5^{[21]}$ . 地累积污染指数分为 7 个等级: $I_{geo} \leq 0$ ,无污染; $0 < I_{geo} \leq 1$ ,介于无污染至中污染; $1 < I_{geo} \leq 2$ ,中污染; $2 < I_{geo} \leq 3$ ,介于中污染至强污染; $3 < I_{geo} \leq 4$ ,强污染; $4 < I_{geo} \leq 5$ ,介于强污染至极强污染; $5 < I_{geo} \leq 10$ ,极强污染。 $2 \leq 5$ ,介于强污染至极强污染; $3 \leq I_{geo} \leq 10$ ,极强污染。 $2 \leq 5$ ,介于强污染至极强污染; $3 \leq I_{geo} \leq 10$ ,极强污染。 $2 \leq 5$ 

#### 1.3.2 污染指数法

单因子污染指数法:

$$P_i = C_i / C_0 \tag{2}$$

式中,  $P_i$  为重金属 i 的单项污染指数;  $C_i$  为土壤重金属 i 含量,  $mg \cdot kg^{-1}$ ;  $C_0$  为评价标准, 采用云南省

土壤背景值算术平均值;单因子污染指数分为 5 个等级: $P_i \leq 0.7$ ,无污染;  $0.7 < P_i \leq 1$ ,警戒限;  $1 < P_i \leq 2$ ,轻度污染;  $2 < P_i \leq 3$ ,中度污染;  $P_i > 3$ ,重度污染.

内梅罗综合污染指数法:

$$P = \sqrt{(P_{\text{max}}^2 + P_{\text{ave}}^2)/2}$$
 (3)

式中,P 为内梅罗综合污染指数; $P_{max}$  为所有重金属污染指数的最大值; $P_{ave}$  为所有重金属污染指数的平均值. 内梅罗综合污染指数分为 5 个等级 :  $P \le 0.7$ ,无污染; $0.7 < P \le 1$ ,警戒限; $1 < P \le 2$ ,轻度污染; $2 < P \le 3$ ,中度污染;P > 3,重度污染 [23].

#### 1.3.3 潜在生态风险评价

Hakanson 潜在生态危害指数法根据重金属性质及环境行为特点,可以反映某一特定环境中单个污染物和多种污染物的影响,其计算公式为:

$$E_{\rm r}^i = T_{\rm r}^i \times C_i / C_0 \tag{4}$$

$$RI = \sum_{i=1}^{m} E_r^i$$
 (5)

式中, $E_r^i$ 为重金属 i 单项潜在生态风险指数; $C_i$ 为土壤重金属含量; $C_0$  为评价标准,采用云南省土壤背景值算术平均值; $T_r^i$  为重金属 i 的毒性响应系数,本研究中 As、Cd、Cu、Hg、Pb 和 Zn 的毒性响应系数分别为 10、30、5、40、5 和 1; RI 为综合潜在生态风险指数。 $E_r^i$  分级标准为: $E_r^i$  < 40,低生态风险; $40 \le E_r^i < 80$ ,中等生态风险; $160 \le E_r^i < 320$ ,高生态风险; $160 \le E_r^i < 320$ ,形成

Hakanson 潜在生态危害指数法是基于 As、Cd、Cr、Cu、Hg、Ni、Pb 和 Zn 这 8 种重金属的毒性系数和 8 种重金属的最大毒性系数进行确定的<sup>[24]</sup>. 本研究只涉及 As、Cd、Cu、Hg、Pb 和 Zn 这 6 种重金属,重金属数量发生了变化,若不进行分级标准调整可能会低估重金属综合潜在生态风险<sup>[25]</sup>. 因此,本研究首先确定单位毒性系数分级值 RI = 150/133 = 1.13,其中,150 为 Hakanson 第一级分级界限值,133

为8种重金属毒性系数综合,Hg 仍然是毒性系数最大的重金属,本研究6种重金属的毒性系数总和为91,则调整后第一级界限值  $RI = 91 \times 1.13 \approx 103$ ,剩余的每一级界限值为上一级值的2倍<sup>[26,27]</sup>,则调整后 RI 分级标准为:RI < 103,低生态风险; $103 \leq RI < 206$ ,中等生态风险; $206 \leq RI < 412$ ,高生态风险; $RI \geq 412$ ,极高生态风险<sup>[22]</sup>.

#### 1.3.4 概率健康风险评估

采用美国环保署(USEPA)推荐的健康风险评价模型,对研究区成人和儿童在经口摄入、皮肤接触和呼吸吸入这3种暴露途径下的健康风险进行评价,成人和儿童的日均摄入量计算公式为(6)~(8),土壤重金属的非致癌风险和致癌风险计算公式为(9)~(10):

$$ADD_{\text{经口摄人}} = \frac{C_i \times IngR_{\pm} \times EF \times ED}{BW \times AT} \times 10^{-6}$$

$$ADD_{gkkight} = \frac{C_i \times SA \times AF \times ABS \times EF \times ED}{BW \times AT} \times 10^{-6}$$

$$ADD_{regwee} = \frac{C_i \times InhR_{\pm} \times EF \times ED}{PEF \times BW \times AT} \times 10^{-6}$$

$$(7)$$

$$HI = \sum HQ = \sum \frac{ADD_i}{RfD_i}$$
 (9)

$$TCR = \sum CR = \sum ADD_i \times SF_i$$
 (10)

式 中, ADD 为 土 壤 重 金 属 日 均 摄 入 量,  $mg \cdot (kg \cdot d)^{-1}$ ;  $C_i$  为 土 壤 重 金 属 i 的 含 量,  $mg \cdot kg^{-1}$ ; HQ 和 HI 分别为单一和综合非致癌风险 指数; RfD 为重金属日均参考剂量,  $mg \cdot (kg \cdot d)^{-1}$ ; CR 和 TCR 分别为单一和综合致癌风险指数; SF 为致癌斜率因子,  $(kg \cdot d) \cdot mg^{-1}$ ; 式(6) ~ (8) 中所用参数的含义和取值见表 1,式(9) 和式(10) 中所用参数的含义和取值见表 2.

若HQ/HI≤1,表明土壤重金属对人体无非致

表 1 蒙特卡罗概率风险评估输入参数

Table 1 Parameter values of the model for probabilistic risk assessment with the Monte Carlo simulator

参数	含义	单位	分布形式	成人	儿童	文献
$IngR_{\pm}$	土壤颗粒摄人速率	mg•d ⁻¹	三角	4、30和52	66, 103 和 161	[12]
EF	暴露频率	d•a -1	单点	350	350	[28]
ED	暴露期	a	均匀分布	0 和 50	0 和 10	[29]
${\rm InhR}_{\pm}$	土壤颗粒吸入速率	$m^3 \cdot d^{-1}$	单点	20	7. 6	[30]
PEF	颗粒物释放因子	$m^3 \cdot kg^{-1}$	单点	$1.36 \times 10^9$	$1.36 \times 10^9$	[31]
BW	体重	kg	正态	57.03 和 1.18	16.68 和 1.48	[32]
AT	平均暴露时间	d	单点	9 125	2 190	[32]
SA	皮肤暴露面积	$\mathrm{cm}^2$	正态	18 182 和 1.1	7 422 和 1.25	[32]
AF	皮肤黏附系数	mg•cm <sup>-2</sup>	正态	0.49 和 0.54	0.65 和 1.2	[33]
ABS	皮肤吸收因子	_	单点	0.001	0. 001	[ 29 ]

#### 表 2 重金属参考剂量和斜率因子取值

Table 2 Corresponding reference dose (RfD) and slope factor (SF) values of heavy
--

重金属	参考	剂量(RfD)/mg⋅(kg	·d) -1	斜率因子(SF)/(kg·d)·mg <sup>-1</sup>			
里並周	经口摄人	呼吸吸入	皮肤接触	经口摄人	呼吸吸入	皮肤接触	
As	3. 00E - 04 <sup>[12]</sup>	1. 23E – 04 <sup>[33]</sup>	1. 23E – 04 <sup>[33]</sup>	1. 5E + 00 <sup>[12]</sup>	1. $51E + 00^{[34]}$	3. $66E + 00^{[34]}$	
Cd	1. $00E - 03^{[35]}$	1. $00E - 05^{[35]}$	1. $00E - 05^{[35]}$	6. $1E + 00^{[12]}$	6. $30E + 00^{[35]}$	_	
Cu	4. $00E - 02^{[35]}$	4. $02E - 02^{[35]}$	1. $20E - 02^{[35]}$	1)	_	_	
Hg	3. $00E - 04^{[33]}$	8. $57E - 05^{[33]}$	2. $10E - 05^{[33]}$	_	_	_	
Pb	3. $50E - 03^{[35]}$	3. $52E - 03^{[35]}$	5. $25E - 04^{[35]}$	8. $50E - 03^{[36]}$	_	_	
Zn	3. $00E - 01^{[35]}$	3. $00E - 01^{[35]}$	6. $00E - 02^{[35]}$	_	_	_	

1) "一"表示无该参数

癌风险;若 HQ/HI > 1,表明土壤重金属对人体有非致癌风险.若  $CR/TCR < 1 \times 10^{-6}$ ,表明土壤重金属对人体无致癌风险;若  $1 \times 10^{-6} < CR/TCR < 1 \times 10^{-4}$ ,表明致癌风险处于人体可接受程度;若  $CR/TCR > 10^{-4}$ ,表明土壤重金属对人体有可致癌风险.

Monte Carlo 模拟通过将符合一定概率分布的 大量随机样本作为参数代入数学模型,设定随机模 拟迭代次数为10000次,获得土壤重金属对人体健 康风险的概率分布.

#### 1.3.5 数据处理

利用 Origin 2018、SPSS 25.0 和 ArcGIS 10.5 进行数据分析和图件绘制,利用 Crystal Ball 11.1.24 进行概率健康风险评估.

#### 2 结果与分析

#### 2.1 土壤中重金属含量和 pH 及统计特征

研究区土壤中重金属含量和 pH 及统计特征见表 3. 土壤中  $\omega$  (Pb)、 $\omega$  (Cd)、 $\omega$  (Zn)、 $\omega$  (As)、 $\omega$  (Cu)和  $\omega$  (Hg)的平均值分别为4 413.93、6.89、

1 672. 76、44. 45、47. 61 和 0. 21 mg·kg<sup>-1</sup>,对比云南 省土壤背景值,这6种重金属的平均含量均超过背 景值,其中,Pb、Cd和 Zn 超背景值倍数分别为 108.7、31.6 和 18.6 倍, As、Cu 和 Hg 超背景值倍 数介于1.0~3.6倍之间;这6种重金属超背景值 的样品比例分别为 100.00%、100.00%、98.21%、 89.29%、33.93%和78.57%.对比《土壤环境质量 农用地土壤污染风险管控标准(试行)》(GB 15618-2018)风险筛选值, Pb、Cd、Zn、As 和 Cu 的最高含 量分别是筛选值的 86.79、123.67、26.21、4.72 和 1.46 倍,Hg 的最高含量没有超过筛选值; ω(Pb)  $\omega(Cd)$ 、 $\omega(Zn)$ 和  $\omega(As)$ 的平均值分别是筛选值的 23.37、30.42、5.60和1.25倍,Cu和Hg含量平均 值没有超过筛选值;土壤中 Pb、Cd、Zn、As 和 Cu 超筛选值样品比例分别为 100.00%、98.21%、 94.64%、50.00%和8.93%.此外,土壤中Pb、Cd 和 As 超过 GB 15618 风险管制值的样品比例分别为 64.29%、67.86%和3.57%,含量最高值分别是管 制值的14.88、13.13 和1.18 倍.由此可见, Pb、Cd、

表 3 研究区土壤中重金属和 pH 含量统计1)

Table 3	Descriptive statistics	of soil heavy	metal conter	nts in agricultural	soils of the study area

-	元素	Pb	$\operatorname{Cd}$	Zn	As	Cu	Hg	pH
最	小值	188. 90	0.44	59.00	1.00	21. 40	0. 02	4. 23
最	大值	13 666. 80	37. 10	6 266. 00	117. 90	93.00	1. 18	7. 89
4	均值	4 413. 93	6.89	1 672. 76	44. 45	47. 61	0. 21	6.41
杨	活准差	3 381.77	1 377. 91	7.77	30.68	27. 34	0. 23	1.00
变	异系数	0.77	1. 13	0.82	0.69	0. 57	1. 10	0. 16
超背景	值比率/%	100.00	100.00	98. 21	89. 29	33. 93	78. 57	
超筛选	值比率/%	100.00	98. 21	94. 64	50.00	8. 93	0.00	
超管制	值比率/%	64. 29	67.86	/2)	3.57	/	0.00	
云南	省背景值	40.6	0. 218	89. 7	18.4	46. 3	0. 058	
GB 15618 筛选值	pH≤5. 5	70	0.3	200	40	50	1.3	
	$5.5 < pH \le 6.5$	90	0.3	200	40	50	1.8	
	6. 5 < pH ≤ 7. 5	120	0.3	250	30	100	2.4	
	pH > 7.5	170	0.3	300	25	100	3.4	
GB 15618 管制值	pH≤5. 5	400	1.5	/	200	/	2	
	5. 5 < pH ≤ 6. 5	500	2	/	150	/	2.5	
	6. 5 < pH ≤ 7. 5	700	3	/	120	/	4	
	pH > 7.5	1 000	4	/	100	/	6	

<sup>1)</sup> pH 值无量纲,其他元素单位为 $mg \cdot kg^{-1}; 2)$  "/"表示无该管制值

Zn 和 As 可能是研究区土壤中主要的重金属污染物. 从变异系数来看,土壤中 Pb、Cd、Zn、As、Cu 和 Hg 的变异系数均大于 0.5,特别是 Cd 和 Hg 的变异系数高达 1.13 和 1.10,说明研究区重金属空间变异性较强,可能受到强烈的人为活动影响. 土壤中pH 的变化范围为  $4.23 \sim 7.89$ ,平均值为 6.41,其中,pH  $\leq 5.5$  的土壤样品 13 个,5.5 < pH  $\leq 6.5$  的土壤样品 15 个,6.5 < pH  $\leq 7.5$  的土壤样品 20 个,pH >7.5 的土壤样品 8 个,总体而言,研究区农田表层土壤以酸性土壤为主.

#### 2.2 土壤中重金属污染评价

#### 2.2.1 地累积污染指数评价

研究区土壤中重金属地累积指数( $I_{\rm geo}$ ) 计算结果由图 2 所示,重金属平均  $I_{\rm geo}$  变化趋势为 Cd (0.24) > As (0.12) > Cu (0.10) > Pb (0.07) > Zn (0.06) > Hg (-0.13). Cd 的  $I_{\rm geo}$  值介于 -4.14 ~ 2.02 之间,44.64% 样品 Cd 属于无污染,无污染至中度污染样品比例为 30.36%,中度污染样品比例为 23.21%, 1.79% 样品 Cd 属于中度污染至重度污

染. Pb、Zn、As 和 Cu 的  $I_{geo}$ 值均介于  $0 \sim 1$  之间,属于无污染至中度污染水平;Hg 的  $I_{geo}$ 全部小于 0,为无污染. 从重金属  $I_{geo}$ 值可见研究区土壤样品中 Cd是污染最严重的重金属,As次之. 说明冶炼等人为活动可能是造成土壤重金属污染的主要原因.

#### 2.2.2 污染指数评价

研究区土壤中单因子污染指数( $P_i$ )和内梅罗污染指数(P)计算结果如图 3 所示. 重金属的  $P_i$  平均值变化趋势大小为: Cd > Pb > Zn > As > Cu > Hg. Cd、Pb 和 Zn 的  $P_i$  平均值分别为 30. 42、23. 37 和 5. 60,均属于重度污染水平; As 的平均  $P_i$  值为 1. 25,属于轻微污染水平, Cu 和 Hg 的平均  $P_i$  值均小于 0. 7,属于无污染水平. Cd、Pb 和 Zn 这 3 种重金属的  $P_i$  值处于中度和重度污染水平的样品占比分别为 91. 07%、91. 07% 和 80. 36%; As 和 Cu 这 2 种重金属的  $P_i$  值处于无污染和警戒限水平的样品占比分别为 50. 00% 和 91. 07%. 研究区土壤中 P 值介于 3. 00 ~ 90. 16 之间,平均值为 31. 85,所有土壤样品都处于重度污染水平,结合重金属的单因子污

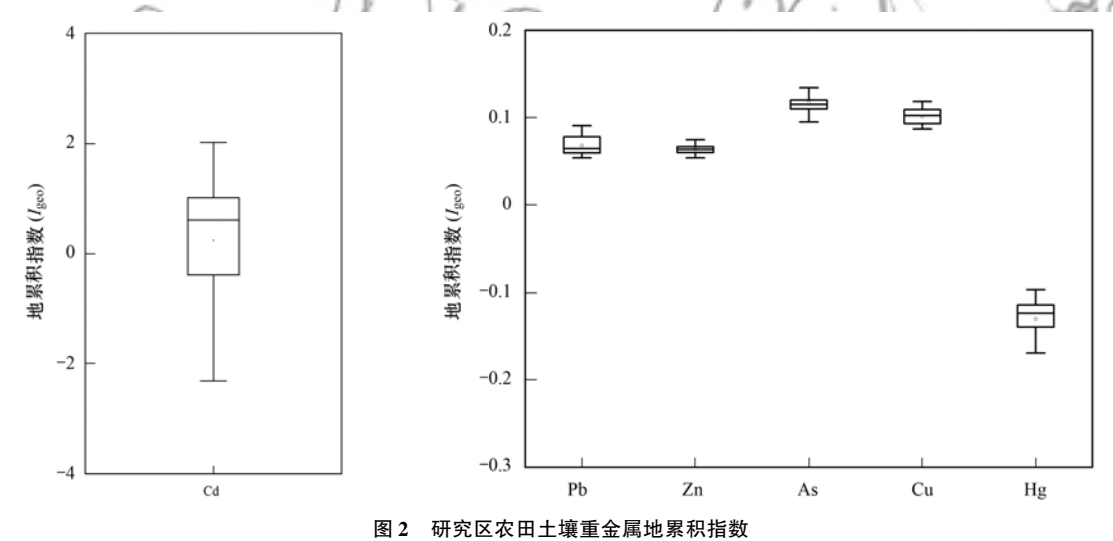


Fig. 2 The  $I_{\rm geo}$  of heavy metals in agricultural soils in the study area

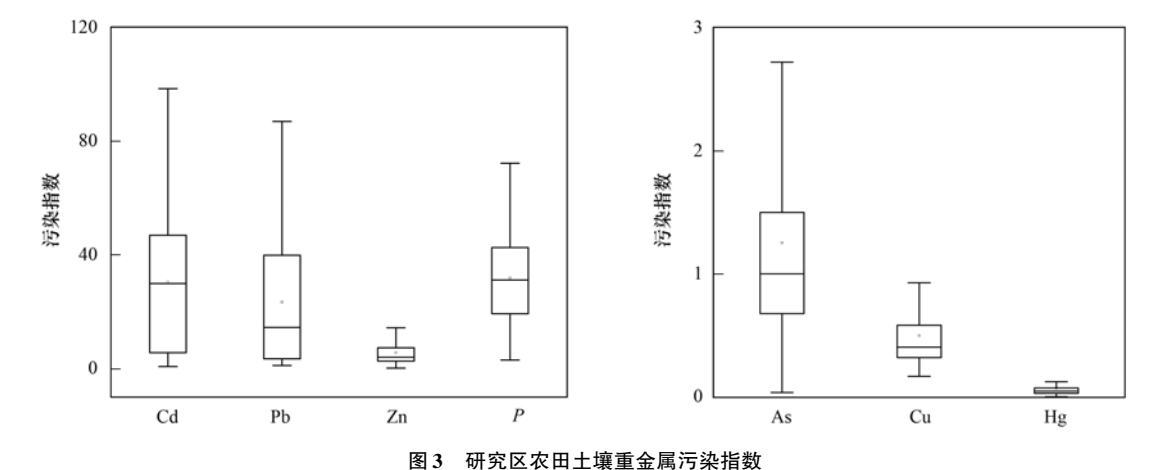


Fig. 3 Pollution indexof heavy metals in agricultural soils in the study area

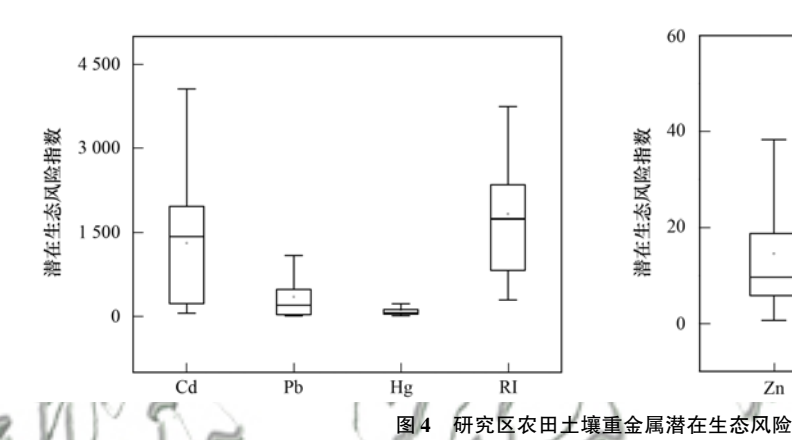
染指数,研究区土壤样品的重度污染主要是由 Cd 和 Pb 这 2 种重金属污染造成的.

#### 2.3 土壤重金属潜在生态风险评价

研究区土壤潜在生态风险评价结果见图 4,土壤中 Cu 的潜在生态风险指数( $E_r^i$ )小于 40,生态风险较小. Zn 和 As 的生态风险指数范围分别为 0.66~69.86 和 0.54~64.08,均值分别为 14.59 和 21.05,处于低生态风险和中等生态风险, Zn 和 As 的低生态风险样本数占比分别为 94.64% 和 89.29%,说明土壤中 Zn 和 As 主要还是以低生态风险为主.土壤 Hg 的  $E_r^i$  值范围为 13.79~813.79,平均值为 119.22, Hg 的中等生态风险和较高生态风险分别占比为 39.29%和 23.21%. Pb 的  $E_r^i$  值范围为 9.35~1683.10,平均值为 351.36,高生态风险以

上样品占比 60.71%; Cd 的  $E_r$  值范围为  $60.55 \sim 5105.50$ ,平均值为1312.60,高生态风险以上样品占比 94.64%,其中,极高生态风险样品占比 71.43%,说明研究区 Cd 生态风险极高.

研究区土壤重金属总潜在生态指数 RI 范围为 296.80~6034.82,平均值为1823.22,处于高至 极高生态风险等级,并且以极高生态风险为主.如图 5 所示,研究区综合潜在生态风险高值区域几乎遍布整个研究区域,重金属高和极高生态风险所占比例分别为 7.14% 和 92.86%,表明治炼活动对研究区农田土壤造成明显的生态风险,影响范围广泛,影响程度较大.结合单项潜在生态风险指数,说明 Cd 和 Pb 是导致研究区生态风险极高的主要因素.



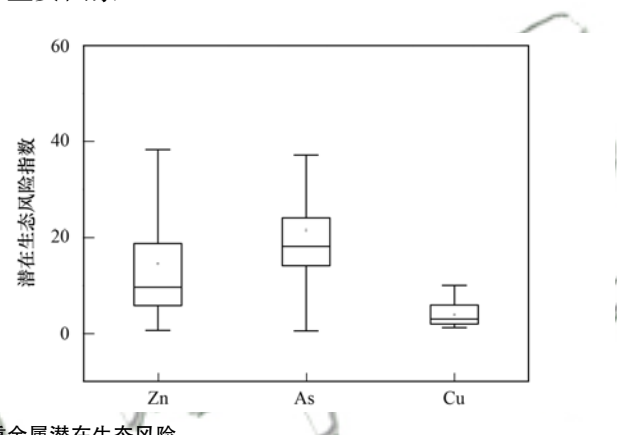


Fig. 4 Potential ecological risk index of heavy metals in agricultural soils in the study area

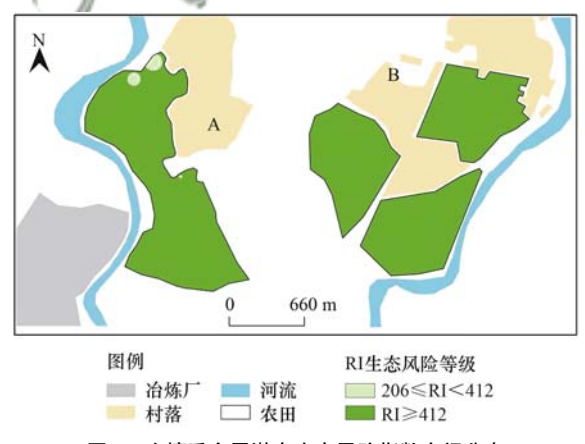


图 5 土壤重金属潜在生态风险指数空间分布 Fig. 5 Spatial distribution of potential ecological risk index of heavy metals

#### 2.4 土壤重金属概率健康风险

利用蒙特卡罗模型计算了研究区成人和儿童在经口摄入、皮肤接触和呼吸吸入3种暴露途径下的概率健康风险. 从非致癌风险指数结果来看(图6),对成人而言,As、Cd、Cu、Hg、Pb和Zn这6种重金属的平均非致癌风险指数(HQ)和95%值均小于1[图6(a)~6(f)],总非致癌风险指数(HI)为

2.42 E - 01 [图 6(g)],说明重金属对成人无非致癌风险.对于儿童,Cu、Hg、Pb 和 Zn 这 4 种重金属的平均 HQ 值和 95%值均小于 1 [图 6(c)~6(f)],说明这 4 种重金属对儿童没有非致癌风险; As 和 Cd 对儿童的平均非致癌指数小于 1,但是 As 和 Cd 的 95%值分别为 1.35E + 00 和 1.08 E + 00 [图 6(a)~6(b)],超过非致癌风险控制值 1 的比例分别为 20.41%和 5.64% [图 7(a)],说明 As 和 Cd 对儿童具有一定的累积健康风险; 儿童的总非致癌风险指数和 95%值分别为 9.36 E - 01 和 2.27 E + 00 [图 6(g)],且 36.63%的 HI 值超过风险值 1 [图 7(a)],说明研究区土壤中重金属对儿童具有累积非致癌风险.

从致癌风险指数结果来看(图 8),对成人而言,虽然 As 对成人的平均致癌风险小于 1E - 04,但是其对成人的 95%值大于 1E - 04[图 8(a)],说明土壤中 As 对成人具有一定的累积致癌风险;Cd 和 Pb 对成人的平均致癌风险指数(CR)和 95%值均小于 1E - 04[图 8(b)和 8(c)],说明 Cd 和 Pb 对成人无致癌风险.对儿童而言,As 和 Cd 对

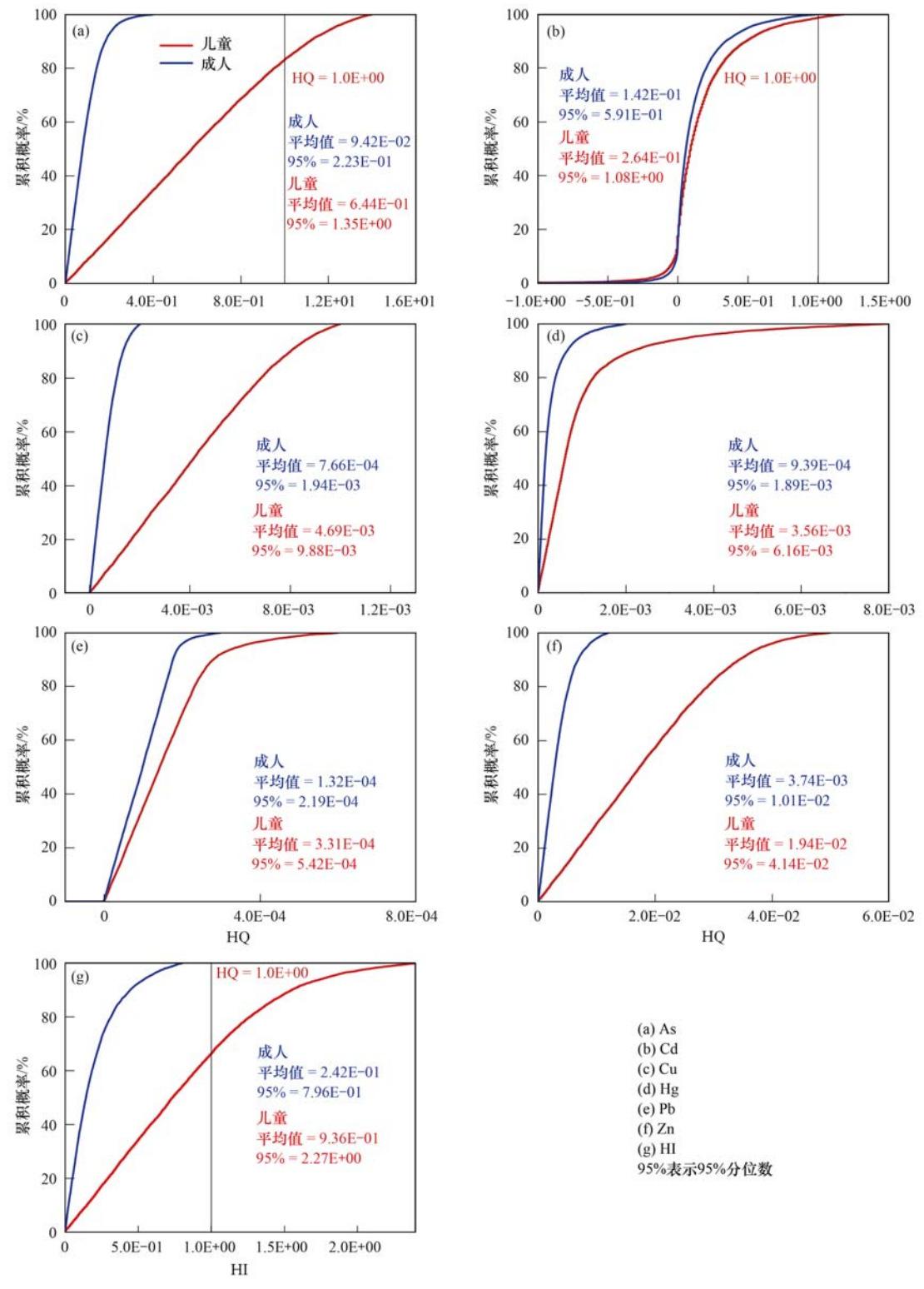


图 6 土壤重金属非致癌风险概率分布

Fig. 6 Probability distribution for hazard quotient (HQ) andhazard index(HI)

儿童的平均致癌风险指数和95%值均大于1E-04[图8(a)和8(b)],说明As和Cd对儿童具有致癌风险;Pb对儿童的平均致癌风险指数(CR)和95%值均小于1E-04[图8(c)],说明Pb对儿童没有致癌风险.由图7(b)所示,As和Cd对儿童的致癌风险超过控制值1E-04的比例分别为

81.90% 和 65.98%; 儿童的总致癌风险指数 (TCR)和95%值分别为 5.93E-04 和 1.55 E-03,总致癌风险约为1E-04 的 5.9 倍且超过控制值1E-04 的比例为 86.85%,说明研究区土壤重金属对儿童的累积致癌风险较大,且 Cd 和 As 是主要的致癌因子.

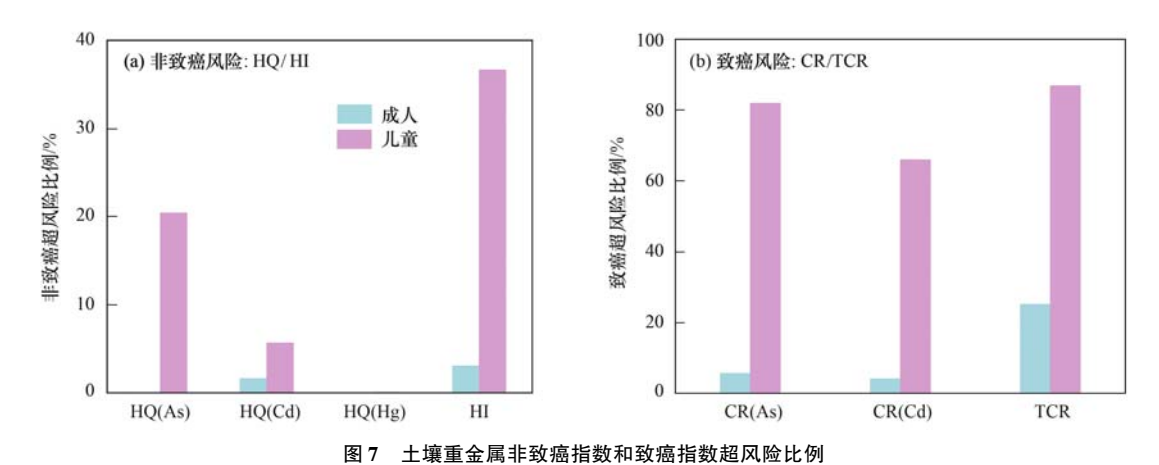


Fig. 7 Exceedance ratio of non-carcinogenic risks and carcinogenic risks for soil heavy metals

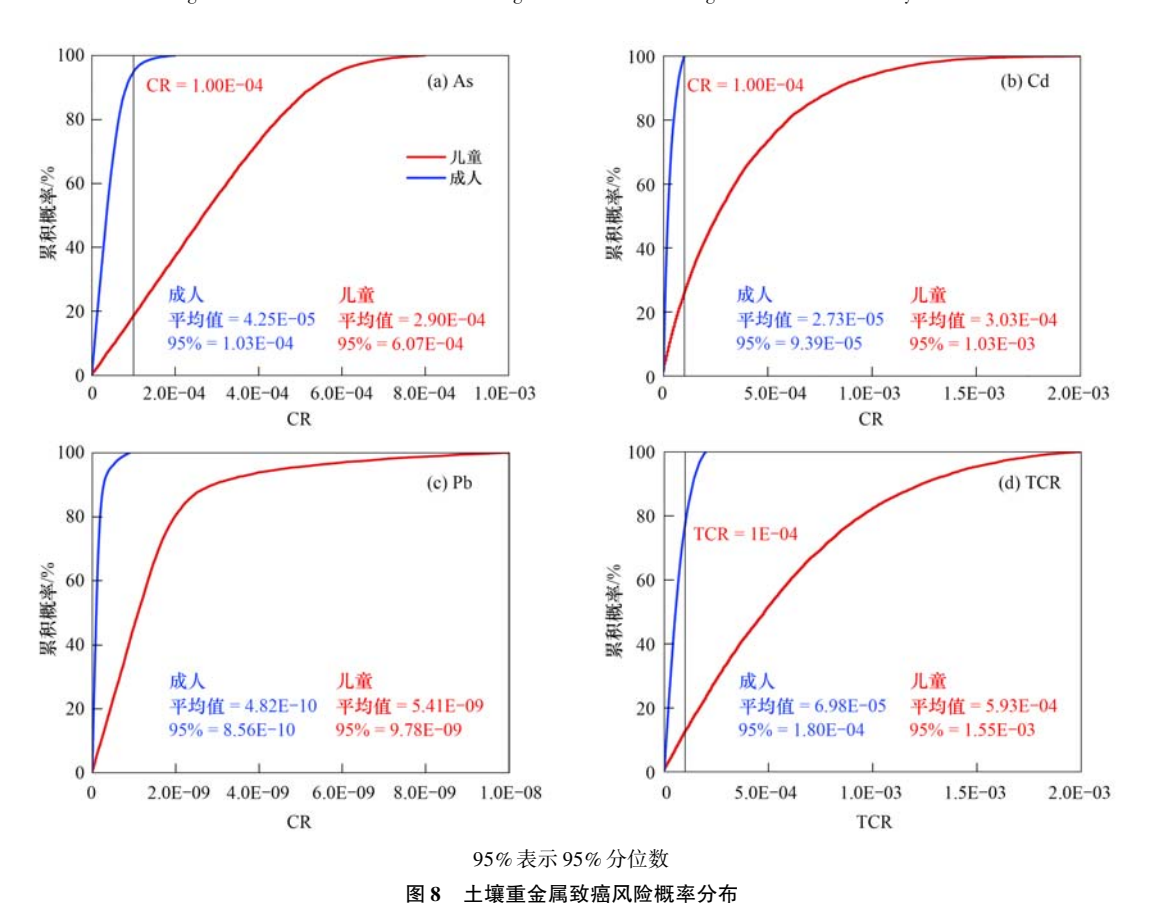


Fig. 8 Probability distribution for carcinogenic risk (CR) index and total carcinogenic risk (TCR)

#### 3 讨论

本研究中 Cd 是地累积指数、污染指数和生态风险最高的重金属,一方面说明研究区土壤样品中 Cd 含量普遍较高,另一方面与 Cd 的毒性响应系数较大有关<sup>[37]</sup>.已有研究表明,铅锌冶炼厂周边土壤中 Cd 污染程度极高<sup>[5,38,39]</sup>,这是因为 Cd 是 Pb-Zn 矿的伴生产物<sup>[40]</sup>,Pb-Zn 矿的开采向周边土壤中输入了大量 Cd 元素,导致土壤中累积了大量的 Cd 污染<sup>[41]</sup>.重金属地累积指数评价结果、污染指数和潜在生态风险评价结果基本一致,但也存在部分差异;

污染指数评价结果表明 Cd、Pb 和 Zn 是主要的污染物,而潜在生态风险评价结果显示 Cd、Pb 和 Hg 是生态风险水平较高的污染物;主要原因可能是 Zn 的毒性系数较低,而 Hg 是毒性系数最高的重金属,因此 Zn 的生态风险相对较低,而 Hg 对潜在生态风险的贡献则较高.

综合潜在生态风险评价结果和健康风险评价结果,前者主要考虑重金属的环境毒性,但是生态风险较高的重金属不一定存在人体健康风险. Pb 和 Hg 是研究区生态风险较高的重金属,但是其并未表现出明显的人体暴露风险(HQ < 1). 概率健康风险评

价结果表明 Cd 和 As 是主要的致癌因子和非致癌因子,研究区 Cd 污染程度严重, Cd 的斜率因子(SF)最大,因此 Cd 对人体的暴露风险也较大,需要重点关注土壤中 Cd 污染;重金属 As 对成人和儿童较高的健康风险可能与其较低的参考剂量和较高的斜率因子有关<sup>[42,43]</sup>, Tseng<sup>[44]</sup>报道了人群对砷暴露较为敏感因此导致 As 健康风险也较大,本研究结果与文献[12,45]的研究结果具有一致性.

对比研究区重金属对成人和儿童的健康风险, 土壤中重金属对成人具有致癌风险,对儿童具有致 癌风险和非致癌风险,重金属污染对儿童的健康风 险大于成人的健康风险,王世玉等<sup>[46]</sup>和 Zhang 等<sup>[47]</sup>分别对典型污灌区和典型工业遗址公园土壤 暴露评估的研究也表明重金属对儿童产生的风险大 于成人,本研究的结果与前人的相似.一方面可能是 与儿童较小的体型和较高的接触频率有关,另一方 面可能是因为儿童特殊的生理和行为模式(如吮吸 手指和呼吸频率较高等),从而导致其可能较高地 摄入土壤中的重金属<sup>[48]</sup>.

#### 4 结论

- (1)研究区土壤中 Pb、Cd、Zn、As、Cu 和 Hg 含量平均值均超过云南省背景值,Pb、Cd、Zn、As 和 Cu 超过农用地土壤风险筛选值,Pb、Cd 和 As 超过农用地土壤风险管制值.Pb、Cd、Zn 和 As 是主要的重金属污染物,土壤重金属空间变异性较强,受人为活动影响较大.
- (2) 地累积指数评价结果表明土壤 Cd 污染最为严重, As 次之; 污染指数评价结果表明土壤 Cd 污染最为严重, Pb 次之, Cd 和 Pb 是造成研究区土壤重度污染的主要因素; 潜在生态风险结果表明土壤 Cd 生态风险最大, Pb 次之, Cd 和 Pb 是导致研究区生态风险极高的主要因素. 冶炼活动对研究区农田土壤造成严重的重金属污染和极高的生态风险.
- (3)概率健康风险评估结果表明研究区存在由重金属引起的非致癌风险和致癌风险,重金属对儿童的健康风险高于成人.重金属对成人和儿童非致癌风险超过控制值的比例分别为3.05%和36.63%,对成人和儿童致癌风险超过控制值的比例分别为25.14%和86.85%.致癌风险和非致癌风险主要由Cd和As引起.

#### 参考文献:

[ 1 ] Jiang H H, Cai L M, Wen H H, et al. An integrated approach to quantifying ecological and human health risks from different sources of soil heavy metals [ J ]. Science of the Total Environment, 2020, 701, doi: 10. 1016/j. scitotenv. 2019. 134466.

- [2] 环境保护部. 环境保护部国土资源部发布全国土壤污染状况 调查公报 [EB/OL]. http://www.gov.cn/xinwen/2014-04/17/content\_2661765.htm, 2014-04-17.
- [ 3 ] Guan Q Y, Wang F F, Xu C Q, et al. Source apportionment of heavy metals in agricultural soil based on PMF: a case study in Hexi Corridor, northwest China[J]. Chemosphere, 2018, 193: 189-197.
- [4] Zhang P Y, Qin C Z, Hong X, et al. Risk assessment and source analysis of soil heavy metal pollution from lower reaches of Yellow River irrigation in China [J]. Science of the Total Environment, 2018, 633: 1136-1147.
- [5] Jiang Z C, Guo Z H, Peng C, et al. Heavy metals in soils around non-ferrous smelteries in China; status, health risks and control measures[J]. Environmental Pollution, 2021, 282, doi: 10.1016/j.envpol.2021.117038.
- [6] Xu X B, Wang T, Sun M X, et al. Management principles for heavy metal contaminated farmland based on ecological risk-A case study in the pilot area of Hunan province, China [J]. Science of the Total Environment, 2019, 684: 537-547.
- [7] 王锐,邓海,严明书,等. 重庆市酉阳县南部农田土壤重金属污染评估及来源解析[J]. 环境科学,2020,41(10):4749-4756.
  Wang R, Deng H, Yan M S, et al. Assessment and source analysis of heavy metal pollution in farmland soils in southern Youyang County, Chongqing[J]. Environmental Science, 2020,41(10):4749-4756.
- [8] Wu J, Lu J, Li L M, et al. Pollution, ecological-health risks, and sources of heavy metals in soil of the northeastern Qinghai-Tibet Plateau[J]. Chemosphere, 2018, 201: 234-342.
- [9] 李艳玲, 陈卫平, 杨阳, 等. 济源市平原区农田重金属污染特征及综合风险评估[J]. 环境科学学报, 2020, **40**(6): 2229-2236. Li Y L, Chen W P, Yang Y, *et al*. Heavy metal pollution
  - Li Y L, Chen W P, Yang Y, et al. Heavy metal pollution characteristics and comprehensive risk evaluation of farmland across the eastern plain of Jiyuan city [J]. Acta Scientiae Circumstantiae, 2020, 40(6): 2229-2236.
- [10] Huang C C, Cai L M, Xu Y H, et al. A comprehensive exploration on the health risk quantification assessment of soil potentially toxic elements from different sources around large-scale smelting area [J]. Environmental Monitoring and Assessment, 2022, 194(3), doi:10.1007/s10661-022-09804-0.
- [11] 刘洋,何朝辉,牛学奎,等.云南某矿区小流域土壤重金属健康风险评价[J].环境科学,2022,43(2):936-945. Liu Y, H e Z H, Niu X K, et al. Health risk assessment of soil heavy metals in a small watershed of amining area in Yunnan [J]. Environmental Science, 2022,43(2):936-945.
- [12] Yang S Y, Zhao J, Chang S X, et al. Status assessment and probabilistic health ris kmodeling of metals accumulation in agriculture soils across China: asynthesis [J]. Environment International, 2019, 128:165-174.
- [13] Zhang H, Zhou X, Wang L B, et al. Concentrations and potential health risks of strontium in drinking water from Xi'an, Northwest China [J]. Ecotoxicology and Environmental Safety, 2018, 164: 181-188
- [14] USEPA. Risk assessment guidance for superfund: volume III-Part A, process for conducting probabilistic risk assessment [R]. Washington, DC; USEPA, 2001.
- [15] Ding D, Kong L Y, Jiang D D, et al. Source apportionment and health risk assessment of chemicals of concern in soil, water and sediment at a large strontium slag pile area [J]. Journal of Environmental Management, 2022, 304, doi: 10. 1016/j.

- jenvman. 2021. 114228.
- [16] Huang J L, Wu Y Y, Sun J X, et al. Health risk assessment of heavy metal(loid)s in park soils of the largest megacity in China by using Monte Carlo simulation coupled with Positive matrix factorization model [J]. Journal of Hazardous Materials, 2021, 415, doi:10.1016/j.jhazmat.2021.125629.
- [17] 佟瑞鹏,杨校毅.基于蒙特卡罗模拟的土壤环境健康风险评价:PAHs 为例[J].环境科学,2017,38(6):2522-2529.
  Tong R P, Yang X Y. Environmental health risk assessment of contaminated soil based on Monte Carlo method: a case of PAHs [J]. Environmental Science, 2017,38(6):2522-2529.
- [18] Qu C S, Sun K, Wang S R, et al. Monte Carlo simulation-based health risk assessment of heavy metal soil pollution; a case study in the Qixia mining area, China[J]. Human and Ecological Risk Assessment; An International Journal, 2012, 18(4):733-750.
- [19] USEPA. Method 9045D-soil and waste pH[R]. Washington, DC:USEPA, 2004.
- [20] 刘意章, 肖唐付, 熊燕, 等. 西南高镉地质背景区农田土壤与农作物的重金属富集特征 [J]. 环境科学, 2019, **40**(6): 2877-2884. Liu Y Z, Xiao T F, Xiong Y, *et al.* Accumulation of heavy
  - metals in agricultural soils and crops from an area with a high geochemical background of cadmium, southwestern China [J]. Environmental Science, 2019, 40(6):2877-2884.
- [21] 陈航,王颖,王澍.铜山矿区周边农田土壤重金属来源解析及污染评价[J],环境科学,2022,43(5):2719-2731.

  Chen H, Wang Y, Wang S. Source analysis and pollution assessment of heavy metals in farmland soil around Tongshan miningarea[J], Environmental Science, 2022, 43(5):2719-2731.
- [22] 郭志娟, 周亚龙, 王乔林, 等. 雄安新区土壤重金属污染特征及健康风险[J]. 中国环境科学, 2021, **41**(1):431-441. Guo Z J, Zhou Y L, Wang Q L, et al. Characteristics of soil heavy metal pollution and health risk in Xiong'an New District [J]. China Environmental Science, 2021, **41**(1):431-441.
- [23] Nemerow N L. Stream, lake, estuary, and ocean pollution [M]. New York; Van Nostrand Reinhold, 1985.
- [24] Li L, Cui J J, Liu J H, et al. Extensive study of potential harmful elements (Ag, As, Hg, Sb, and Se) in surface sediments of the Bohai Sea, China; sources and environmental risks [J]. Environmental Pollution, 2016, 219;432-439.
- [25] 陈怡先,姜小三,王勇,等.基于GIS 矿区土壤重金属生态环境及人体健康评价[J].环境科学学报,2018,38(4):1642-1652.
  - Chen Y X, Jiang X S, Wang Y, et al. Assessment of ecological environment and human health of heavy metals in mining area based on  $\mathrm{GIS}[J]$ . Acta Scientiae Circumstantiae, 2018, 38(4): 1642-1652.
- [26] 马建华,王晓云,侯千,等.某城市幼儿园地表灰尘重金属污染及潜在生态风险[J].地理研究,2011,30(3):486-495. Ma J H, Wang X Y, Hou Q, et al. Pollution and potential ecological risk of heavy metals in surface dust on urban kindergartens[J]. Geographical Research, 2011, 30(3):486-495
- [27] Fernández J A, Carballeira A. Evaluation of contamination, by different elements, in terrestrial mosses [ J ]. Archives of Environmental Contamination and Toxicology, 2001, 40 (4): 461-468.
- [28] Wu B, Zhang Y, Zhang X X, et al. Health risk assessment of polycyclic aromatic hydrocarbons in the source water and drinking water of China; quantitative analysis based on published

- monitoring data [J]. Science of the Total Environment, 2011, 410-411;112-118.
- [29] USEPA. Risk assessment guidance for Superfund, Volume 1: human health evaluation manual [R]. Washington, DC: USEPA, 2004.
- [30] Xu Y F, Dai S X, Meng K, et al. Occurrence and risk assessment of potentially toxic elements and typical organic pollutants in contaminated rural soils [J]. Science of the Total Environment, 2018, 630:618-629.
- [31] USEPA. Exposure factors handbook [R]. EPA/600/R-09/052F, Washington DC: USEPA, 2011.
- [32] Zhang L E, Huang D Z, Yang J, et al. Probabilistic risk assessment of Chinese residents'exposure to fluoride in improved drinking water in endemic fluorosis areas [J]. Environmental Pollution, 2017, 222;118-125.
- [33] 陈奔, 邱海源, 郭彦妮, 等. 尤溪铅锌矿集区重金属污染健康 风险评价研究[J]. 厦门大学学报(自然科学版), 2012, **51** (2):245-251. Chen B, Qiu H Y, Guo Y N, et al. Heavy metal contamination and health risk assessment in the zinc mine set area of Youxi, China[J], Journal of Xiamen University (Natural Science),
- [34] Chen R H, Chen H Y, Song L T, et al. Characterization and source apportionment of heavy metals in the sediments of Lake Tai (China) and its surrounding soils [J]. Science of the Total Environment, 2019, 694, doi: 10. 1016/j. scitotenv. 2019. 133819.

2012, **51**(2):245-251.

2019, 40(1):437-444.

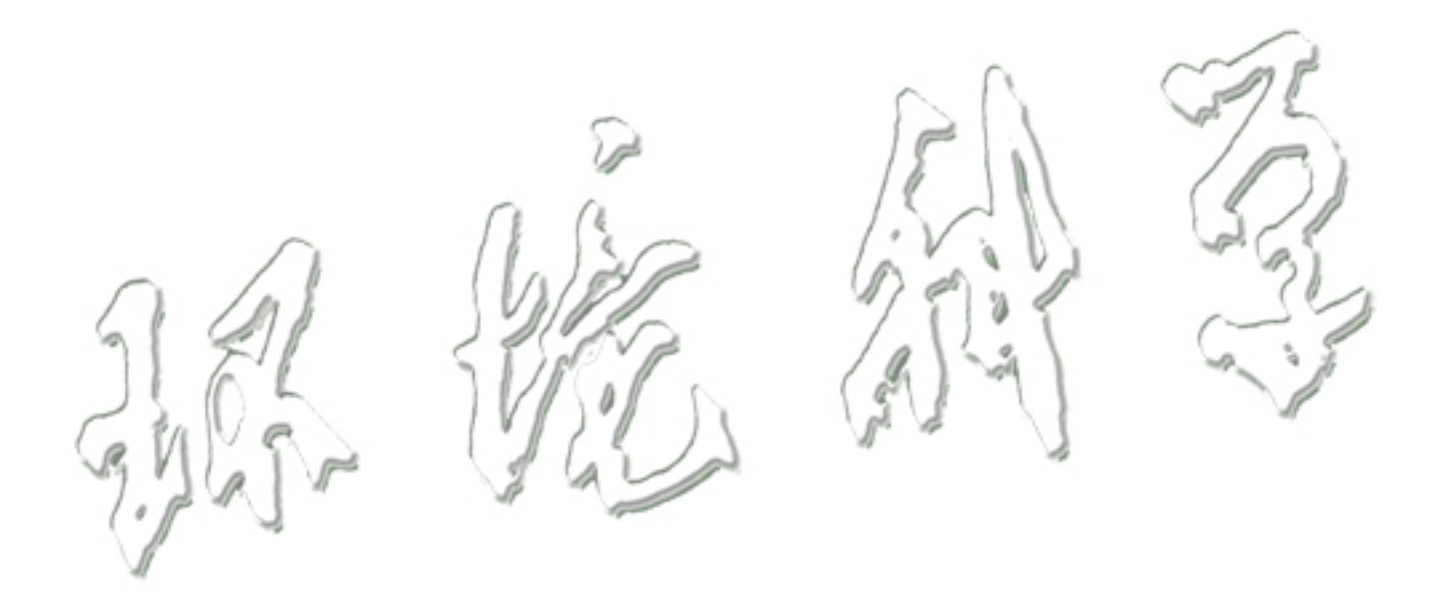
- [35] Gu Y G, Lin Q, Gao Y P. Reprint of: metals in exposed-lawn soils from 18 urban parks and its human health implications in southern China's largest city, Guangzhou[J]. Journal of Cleaner Production, 2017, 163 Suppl 1:S164-S171.
- [36] USEPA. Regional screening level (RSL) summary table [EB/OL]. Washington DC: https://www.epa.gov/risk/regional-screening-levels-rsls-generic-tables, 2021-09-25.
- [37] 王洋洋,李方方,王笑阳,等.铅锌冶炼厂周边农田土壤重金属污染空间分布特征及风险评估[J].环境科学,2019,40
  (1):437-444.
  Wang Y Y, Li F F, Wang X Y, et al. Spatial distribution and risk assessment of heavy metal contamination in surface farmland

soil around a lead and zinc smelter [J]. Environmental Science,

- [38] Li P Z, Lin C Y, Cheng H G, et al. Contamination and health risks of soil heavy metals around a lead/zinc smelter in southwestern China[J]. Ecotoxicology and Environmental Safety, 2015, 113;391-399.
- [39] Huang Y N, Dang F, Li M, et al. Environmental and human health risks from metal exposures nearby a Pb-Zn-Agmine, China [J]. Science of the Total Environment, 2020, 698, doi:10. 1016/j. scitotenv. 2019. 134326.
- [40] Gołębiewski M, Deja-Sikora E, Cichosz M, et al. 16S rDNA pyrosequencing analysis of bacterial community in heavy metals polluted soils[J]. Microbial Ecology, 2014, 67(3):635-647.
- [41] Han Q, Wang M, Cao J, et al. Health risk assessment and bioaccessibilities of heavy metals for children in soil and dust from urban parks and schools of Jiaozuo, China[J]. Ecotoxicology and Environmental Safety, 2020, 191, doi: 10.1016/j. ecoenv. 2019.110157.
- [42] Li J, Li C, Sun H J, et al. Arsenic relative bioavailability in contaminated soils: comparison of animal models, dosing schemes, and biological end points[J]. Environmental Science & Technology, 2016, 50(1):453-461.

- [43] Li Z Y, Ma Z W, van der Kuijp T J, et al. A review of soil heavy metal pollution from mines in China: pollution and health risk assessment[J]. Science of the Total Environment, 2014, 468-469:843-853.
- [44] Tseng W P. Effects and dose-response relationships of skin cancer and blackfoot disease with arsenic [J]. Environmental Health Perspectives, 1977, 19:109-119.
- [45] Han J H, Lee S, Mammadov Z, et al. Source apportionment and human health risk assessment of trace metals and metalloids in surface soils of the Mugan Plain, the Republic of Azerbaijan [J]. Environmental Pollution, 2021, 290, doi:10.1016/j.envpol. 2021.118058.
- [46] 王世玉,吴文勇,刘菲,等.典型污灌区土壤与作物中重金属

- 健康风险评估[J]. 中国环境科学, 2018, **38**(4):1550-1560. Wang S Y, Wu W Y, Liu F, *et al.* Assessment of human health risks of heavy metals in the typical sewage irrigation areas[J]. China Environmental Science, 2018, **38**(4):1550-1560.
- [47] Zhang R, Chen T, Zhang Y, et al. Health risk assessment of heavy metals in agricultural soils and identification of main influencing factors in a typical industrial park in northwest China [J]. Chemosphere, 2020, 252, doi:10.1016/j. chemosphere. 2020.126591.
- [48] Cai L M, Wang Q S, Luo J, et al. Heavy metal contamination and health risk assessment for children near a large Cu-smelter in central China[J]. Science of the Total Environment, 2019, 650: 725-733.



# **HUANJING KEXUE**

Environmental Science (monthly)

Vol. 44 No. 4 Apr. 15, 2023

## **CONTENTS**

Impact of Unimate Unange on Summer Ozone in Unina  Spatial-temporal Variation and Driving Factors of Ozone in China from 2019 to 2021 Based on EOF Technique and KZ Filter	ANG Hao-qi, ZHANG Yu-fen, LUO Zhong-wei, et al. (18	
ZHEN	G Zhen-sen, DOU Jian-ping, ZHANG Guo-tao, et al. (18	321)
Spatiotemporal Evolution Characteristics of PM <sub>2,5</sub> -O <sub>3</sub> Compound Pollution in Chinese Cities from 2015 to 2020	NIU Xiao-xiao, ZHONG Yan-mei, YANG Lu, et al. (18	330)
Spatiotemporal Distribution Characteristics of Co-pollution of PM <sub>2,5</sub> and Ozone over BTH with Surrounding Area from 2015 to 2021		
Spatio-temporal Variation in PM <sub>2.5</sub> Concentration and Its Relationship with Vegetation Landscape Patterns in Typical Economic Zones in	China from 2000 to 2020	
7.3	····· XU Yong, LI Xin-yi, HUANG Wen-ting, et al. (18	352)
Characteristics and Source Apportionment of Atmospheric Ion Deposition During Winter and Spring in the Core Area of Beijing	······· ZHAO Yu, LI Bei-bei, HUANG Yu-hu, et al. (18	365)
Input Characteristics of Dry Deposition of Atmospheric Particulates and Metals in Farmland in the Suburb of Nanjing	LIU Cui-ying, JIN Hao, FAN Jian-ling ( 18	373)
Pollution Characterizations and Oxidative Potentials of Water-Soluble Organic Matters at Different Polarity Levels in Winter PM <sub>2.5</sub> Over Y	Ai'an	
	···· LUO Yu, HUANG Sha-sha, ZHANG Tian, et al. (18	382)
Emission Characteristics of Organic Carbon and Elemental Carbon in PM <sub>10</sub> and PM <sub>2,5</sub> from Vehicle Exhaust and Civil Combustion Fuels	WANG H. J. HUCLL GUN F	200 )
Characteristics and Source Apportionment of PM <sub>2,5</sub> in the Core Area of Ili River Valley in Spring	WANG Hong-lei, LIU Si-han, SUN Jie-juan, et al. (18	S90)
Characteristics and Source Apportionment of PM <sub>2,5</sub> in the Core Area of III River Valley in Spring  Evaluation of Changes in PM <sub>2,5</sub> Exposure Concentration and Health Risk for Urban Resident in Zhengzhou Based on High Spatial Resolu	ion Coida	599)
Evaluation of Changes in Fm <sub>2.5</sub> exposure Concentration and readth fask for Orban Resident in Zhengzhou based on riigh Spatial Resolu	Hon Grids	011 \
Emission Inventory of Building Material Industry in Henan Province Based on Multi-source Data Integration	IIII Xiao HII ling-nan WANG Hong-mei et al. (19	)) 1))
Pollution Characteristics and Source Apportionment of Atmospheric Volatile Organic Compounds in Winter in Kaifeng City		
Changes in O <sub>3</sub> -VOCs-NO <sub>x</sub> Sensitivity and VOCs Sources at an Urban Site of Nanjing Between 2020 and 2021		
Variation Characteristics and Ozone Formation Potential of Ambient VOCs in Urban Beijing in Summer		
Chemical Characteristics and Source Apportionment for VOCs During the Ozone Pollution Episodes and Non-ozone Pollution Periods in Oi	ngdao · · · · · · · · · · · · · · · · · · ·	
	JIA Zhi-hai, GU Yao, KONG Cui-li, et al. (19	962)
Characteristics of O <sub>3</sub> Production in the Western Suburb of Hefei in Summer Based on the Observation of Total Peroxy Radical	······ YU Hui, WEI Na-na, XU Xue-zhe, et al. (19	974)
Evaluation of Energy Saving and Carbon Reduction Effect of Air Pollution Prevention and Control Action Plan and Innovation Intermedian		
Scenario Simulation and Effects Assessment of Co-control on Pollution and Carbon Emission Reduction in Beijing	YU Shan, ZHANG Shuang, ZHANG Zeng-jie, et al. (19	998)
Simulation of Anthropogenic CO <sub>2</sub> Emissions in the Yangtze River Delta Based on Different Emission Inventories	···· MA Xin-yi, HUANG Wen-jing, HU Ning, et al. (20	009)
Water Quality Change Trend and Risk Analysis of Wuhan Hanjiang River Water Source	······ ZHUO Hai-hua, LOU Bao-feng, XU Jie, et al. (20	)22)
Pollution Characteristics and Risk Assessment of Antibiotics and Resistance Genes in Different Water Sources in the Wuhan Section of the	e Yangtze River	
O CLASS CONTRACTOR OF THE CASE	LI Bo-lin, ZHANG He, WANG Jun, et al. (20	)32)
Occurrence Characteristics, Sources, and Toxicity Risk Analysis of Polycyclic Aromatic Hydrocarbons in Typical Rivers of Northern Shaa	nxi Mining Area, China	ΜΟ.)
Spatio-temporal Characteristics of Organic Aggregates and the Driving Factors in Typical Lakes	VIE Cui ivon CONC Vi ZHII Eu chong et al. (20	)40 ) 152 \
Distribution Characteristics and Risk Assessment of Microplastics in Water of Different Functional Parks in Guilin		
Environmental Driving Factors and Assessment on the Aquatic Ecosystem of Periphytic Algae of Six Inflow Rivers in Yangtze River Basin		
Influence and Driving of Environmental Heterogeneity on the Epilithic Diatom Community in Xiangxi River, a Tributary of the Three Cor	ges Reservoir Area ·····	
and the state of t	JI Lu-lu, ZHAO Lu, OUYANG Tian, et al. (20	083)
Characteristics of Phytoplankton Communities and Key Impact Factors in Three Types of Lakes in Wuhan	ZHANG Hao-kun, MIN Fen-li, CUI Hui-rong, et al. (20	093)
Effects of Heavy Metal Pollution on the Structure of Microbial Communities in Different Habitats  Structure and Distribution Characteristics of Bacterial Community in Boqing River Water	······ HE Yi-fan, XIAO Xin-zong, WANG Jia-wen (21	103)
Structure and Distribution Characteristics of Bacterial Community in Boqing River Water	WANG Sen, CHEN Jian-wen, ZHANG Hong, et al. (21	113)
Effects of Microplastic Exposure on the Community Structure and Function of Symbiotic Bacteria in Sinularia microclavata	····· LIU Min, CHE Wen-xue, ZENG Ying-xu, et al. (21	122)
Distribution Characteristics and Health Risk Assessment of Emerging Contaminants from Raw Water to Drinking Water in Shanghai		
Adsorption Characteristics of Fluoride in Low-Concentration Water by Aluminum and Zirconium-Modified Biochar		
Sorption Characteristics and Site Energy Distribution Theory of Typical Estrogens on Microplastics		
Selection and Evaluation of Model Pollutants for Performance Assessment of Advanced Treatment of Industrial Park Wastewater by Ozonat		168)
Identifying Driving Factors and Their Interacting Effects on Sources of Heavy Metal in Farmland Soils with Geodetector and Multi-source		177 )
Pollution Characteristics and Source Apportionment of Heavy Metals in Farmland Soils Around the Gangue Heap of Coal Mine Based on A	APCS_MIR and PMF Recentor Model	177)
Total of a december of the state of the stat	··· MA lie SHEN Zhi-iie ZHANG Ping-ning et al. (21	192)
Contamination and Probabilistic Health Risk Assessment of Heavy Metals in Agricultural Soils Around a Lead-Zinc Smelter		
Prediction of PAHs Content in Soil Around Gas Stations in Beijing Based on BP Neural Network	MA Sai-yan, WEI Hai-ying, MA Jin, et al. (22	215)
Spatial-temporal Distribution and Risk Assessment of Quinolones Antibiotics in Soil of Shijiazhuang City	······· ZHAO Xin-yu, CHEN Hui, ZHAO Bo, et al. (22	223)
Accumulation and Pollution Risks of Heavy Metals in Soils and Agricultural Products from a Typical Black Shale Region with High Geolo	gical Background ·····	
7,1		
Geochemical Characteristics of Cd in Different Parent Soils in Karst Area and Prediction of Cd Content in Maize		
Pollution Risk and Contribution Analysis of Pb, Cd, and As in Soils and Crops Under Different Land Use Types in Longyan City	WANG Rui, CHEN Nan, ZHANG Er-xi (22	252)
Influencing Factors of Cadmium Content in Wheat Grain: A Meta-analysis and Decision Tree Analysis	····· LIU Na, ZHANG Shao-bin, GUO Xin-yu, et al. (22	265)
Response Characteristics of Soil Organic Carbon Pool and Its Chemical Composition During Secondary Forest Succession in the Loess Plat	ean Thirt Thirt Strang O. 1 (20	775 \
Effects of Short-Term Nitrogen and Phosphorus Addition on Soil Respiration Components in a Subalpine Grassland of Qilian Mountains	LIU Han-yu, LIU Ying-yi, ZHANG Qi, et al. (22	213)
Effects of Short-Term Mutogen and Phosphorus Addition on Son Respiration Components in a Subalpine Grassiand of Amar Mountains	HANG Yuan GAN Xiao-ling CAO Feng-feng et al. (22	283 )
Response of Soil Microbial Diversity to Long-term Enclosure in Degraded Patches of Alpine Meadow in the Source Zone of the Yellow Riv	/er ·····	203)
to place of our increase and our place of the following th	····· YANG Peng-nian . LI Xi-lai . LI Cheng-vi . et al. (22	293)
Diversity and Predictive Functional of Caragana jubata Bacterial Community in Rhizosphere and Non-rhizosphere Soil at Different Altitud		
Effects of Simulated Acid Rain and Nitrogen Deposition on Soil Bacterial Community Structure and Diversity in the Masson Pine Forest		
	WANG Nan, QIAN Shao-yu, PAN Xiao-cheng, et al. (23	315)
Effects of Phosphogypsum and Suaeda salsa on the Soil Moisture, Salt, and Bacterial Community Structure of Salinized Soil	LIU Yue, YANG Shu-qing, ZHANG Wan-feng, et al. (23	
Effects of Combined Application of Fungal Residue and Chemical Fertilizer on Soil Microbial Community Composition and Diversity in Pa	ddy Soil ·····	
, - r		
Effects of Aeration on Surface Water Nutrient Dynamics and Greenhouse Gas Emission in Different Straw Returning Paddy Fields		
Effects of Exogenous Melatonin Treatment on the Growth and Antioxidant System of Rice Seedlings Under Antimony Stress	CHU Yu-tan, LI Yan, HUANG Yi-zong, et al. (23	356)
Life Cycle Prediction Assessment of Energy Saving and New Energy Vehicles for 2035	FU Per, LAN Li-bo, CHEN Ying, et al. (23	565)
Distribution, Sources, and Behavioral Characteristics of Microplastics in Farmland Soil  Research Progress on the Remediation Technology of Herbicide Contamination in Agricultural Soils		
Research Progress on the Remediation Technology of Herbicide Contamination in Agricultural Soils  Research Progress and Prospect of Herbicide Residue Characteristics in Black Soil Region of China		